

III - 6 南水路流れにおける乱れ計測について(報告書)

— 管径の大きさの影響に関する考察 —

京都大学工学部 正員 工博 石原謙次郎

京都大学工学部 正員 工修 今本博健

東京都建設局 正員 工修 山本弥四郎

1. 緒言： 總圧管式流速計によって乱れを測定する場合、測定される圧力は、先端部の微小部分に働く瞬間的な圧力の面積平均であると考えられるため、總圧管の口径によって、測定される乱れは異なってくる。Ippen ちは、總圧管式流速計においては、總圧管の口径より小さい漏は平均的にしがとらえられないため、乱れ計測用の總圧管は口径の小さいものほどよいとしている。しかしながら、口径がきゆめて小さい場合、圧力変動の測定は困難となり、実用上の見地からは、口径は大であることが望まれる。本報告は、以上のようす、乱れ計測における總圧管の口径の影響に關して理論的考察をするとともに、実験的に確かめようとするものである。

2. 理論的考察： 簡単のため、局部的平均流速 \bar{u} および乱れの大きさ \bar{u}' は場所に関係せず一定とし、また、總圧管に働く圧力として、流速のみによるものを取り上げることにする。總圧管の先端部の直上をかこむ微小面積 dA に作用する力 dF は、つぎのように表わすことができる。(図1参照)

$$dF = \frac{(U(P))^2}{2g} dA \quad \text{--- (1)}$$



図1

ここに、 $U(P)$ は、直上における流速であって、直上をかこむ微小面積 dA 内のすべての直の流速は $U(P)$ に等しいとする。

總圧管によって測定される圧力 $H_{ta}(t)$ は、先端部の微小部分に働く瞬間的な圧力の全体の面積 A における平均であるから、(1)式より、

$$H_{ta} = \frac{1}{A} \int_A dF = \frac{1}{A} \int_A \frac{1}{2g} \{ U(P; t) \}^2 dA = \frac{\bar{u}^2}{2g} + \frac{\bar{u}}{gA} \int_A u'(P; t) dA + \frac{1}{2gA} \int_A u''(P; t) dA \quad \text{--- (2)}$$

となる。ここに、 \bar{u} および $u'(P; t)$ は、それぞれ $U(P; t)$ の時間的平均値および変動分である。(2)式より、 \bar{H}_{ta} および $H_{ta}(t)$ はつぎのように表わされる。

$$\bar{H}_{ta} = \frac{\bar{u}^2}{2g} + \frac{\bar{u}^2}{2g} \quad \text{--- (3)}, \quad H_{ta}(t) = \frac{\bar{u}}{gA} \int_A u'(P; t) dA + \frac{1}{2g} \left\{ \frac{1}{A} \int_A u''(P; t) dA - \bar{u}^2 \right\} \quad \text{--- (4)}$$

(3)および(4)式は、それぞれ近似的につぎのようだ書ける。

$$\bar{H}_{ta} \approx \frac{\bar{u}^2}{2g} \quad \text{--- (5)}, \quad H_{ta}(t) \approx \frac{\bar{u}}{gA} \int_A u'(P; t) dA \quad \text{--- (6)}$$

(5)式は、一般的平均流速を求めるさいに用いられる式と同じものであつて、直か一株の場合、 \bar{H}_{ta} は測定に口径の大きさは関係しないことがわかる。また、(6)式より、 \bar{H}_{ta} は、

$$\bar{H}_{ta} = \left(\frac{\bar{u}}{gA} \right)^2 \left\{ \int_A u'(P; t) dA \right\}^2 = \left(\frac{\bar{u}}{gA} \right)^2 \int_A dA \int_A \bar{u}'(P_1) u'(P_2) dA \quad \text{--- (7)}$$

3. ここに, P_1 および P_2 は A 内の点である。 (n) 式の $\overline{U(P_1)} \cap \overline{U(P_2)}$ に Eilenberg 相交関数を用いたと, (n) 式は,

$$\overline{H_{\text{far}}^{\text{in}}} = \left(\frac{\bar{U}}{gA} \right)^2 \overline{U^2} \iint R_E (\vec{P}_1, \vec{P}_2) dA_1 dA_2 \dots \quad (4)$$

ここで、 $R_E(P_1, P_2)$ は、桌上および P_2 における速度変動の Euler 相関係数である。

(たゞ、 $\overline{H_{in}} = \frac{U}{q}$), $\overline{U_{in}} = (\frac{U}{q})^2 \overline{H_{in}^2}$ にてて計算される $\overline{U_{in}}$ (断面積 A の総圧管によって測定され
る圧力) と、 $\overline{U_{in}}$ との間に、

$$\frac{\overline{W_1}}{W_2} = \frac{1}{A^2} \int_A dA_1 \int_A R_E (\vec{P}_1, \vec{P}_2) dA_2 \quad \dots \quad (4)$$

の実係があることがわかる。

(2)式は、Euler相関関数 $\text{Re}(r)$ の漸近形が与えられると計算できるが、右辺の積分は一般に困難である。特殊の場合を除いて、数值積分によらねばならない。

喉圧管の断面が一边 a の正方形であって、また、Euler相関関数として、

$$R_E(r) = \begin{cases} 1, & (0 \leq r \leq k) \\ 0, & (r > k) \end{cases} \quad \dots \dots \dots \quad (10)$$

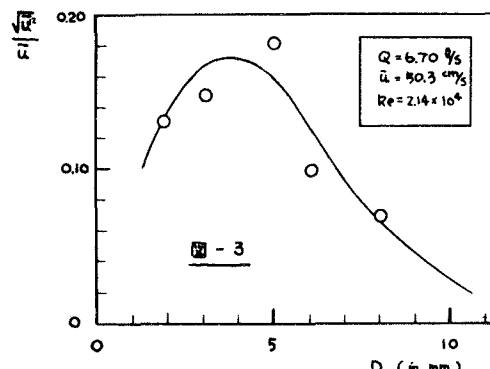
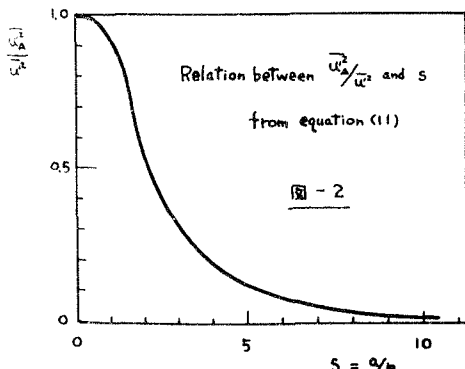
を用いた場合、(9)式の積分は可能であつて、その結果を示すとつきの通りである。

$$\frac{a}{k} = s \text{ です} \Rightarrow, \quad 0 < s \leq \frac{1}{\sqrt{2}}, \quad \frac{\overline{U_1^2}}{\overline{U_1}^2} = 1$$

$$\frac{1}{\sqrt{2}} \leq s \leq 1, \quad \frac{\overline{U\bar{A}}}{\overline{U^4}} = \frac{1}{3} - \frac{1}{S^2} + \frac{4(2+S^2)(1-S^2)^{\frac{1}{2}}}{3S^3} - \frac{1}{2S^4} \\ + \frac{1}{S^5} \left\{ 2\sin^{-1}s - 2\sin^{-1}\sqrt{1-s^2} + \sin(2\sin^{-1}s) - \sin(2\sin^{-1}\sqrt{1-s^2}) \right\}$$

$$s \geq 1, \quad \frac{\overline{U\bar{A}}}{\overline{U^4}} = \frac{\pi}{S^2} - \frac{8}{3S^3} + \frac{1}{2S^4}$$

図-2は、(1)式の結果を図示したものであって、口径が大きくなるにしたがって、測定された乱れと
実験の乱れとの比は小さくなっている。図-3は、各種の口径の総圧管を用いて、同一水理条件のもと
における乱れ計測結果を示したものであるが、この図によると、口径5mmの場合にピークが現われて
いるが、さらに詳しい実験結果については講演時に報告する予定である。



参考文献：(4) Perkins, F.E., and P.S. Eagleson; "The Development of a Total Head Tube for High Frequency Pressure Fluctuations in Water," MIT Hydro Labo, Technical Note, No. 5, 1959